

Procjene maksimalnih godišnjih kratkotrajnih količina oborine na postaji Palagruža

Geografska širina (φ): 42.39277° (479823.9E)

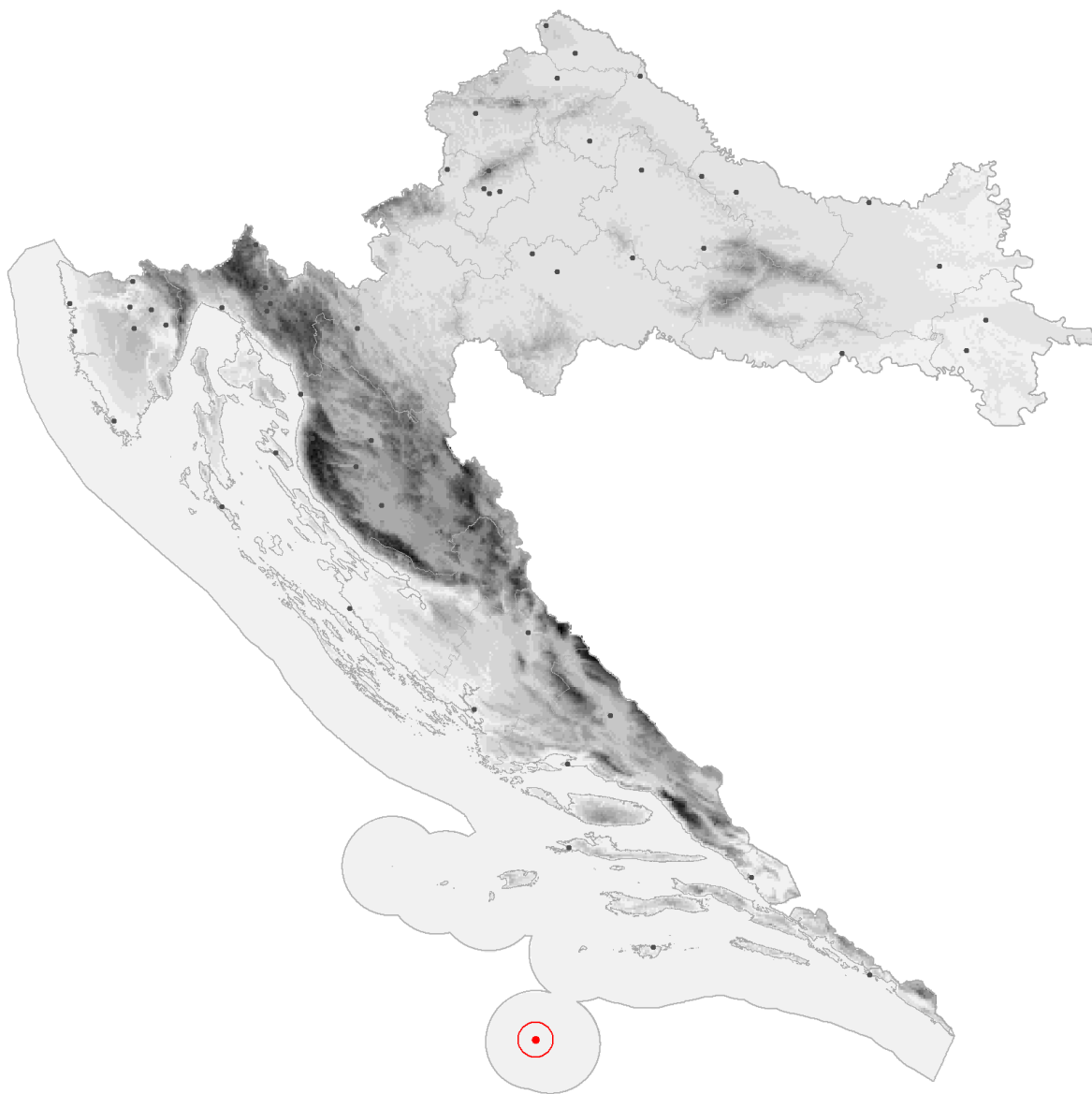
Geografska dužina (λ): 16.25494° (4694824.01N)

Nadmorska visina (h): 96 m

Razdoblje: 1970. – 2020.

Analizirani broj godina: 43 (84.3 %)

Nedostajuće godine: 8 (15.7 %) 1986, 1988, 1989, 1990, 1992, 1993, 1994, 1995



Najbliži ombrograf: Lastovo, 67 km

Tablica 1.

Osnovni statistički parametri oborine za različita trajanja: Rsred – srednjak [mm], StDev – standardna devijacija [mm], CV – koeficijent varijacije oborine, Rmaks – najveća registrirana količina oborine [mm] i pripadni datum i vrijeme, Tmaks – pripadno povratno razdoblje za Rmaks [god]. **PALAGRUŽA**, razdoblje 1970. – 2020.

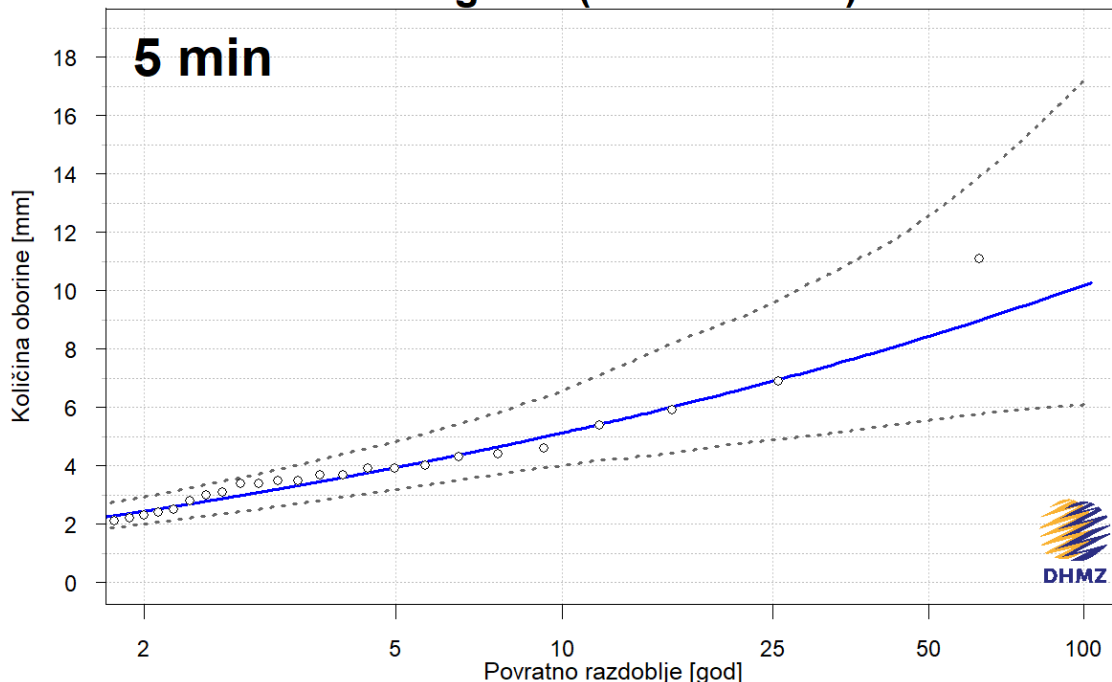
Trajanje	Rsred	StDev	CV	Rmaks	Datum/Vrijeme	Tmaks
5 min	2.9	1.9	0.66	11.1	1972-07-21 05:30:00	138
10 min	5.3	3.0	0.57	16.9	1972-07-21 05:35:00	124
20 min	8.1	4.1	0.51	23.4	1972-07-21 05:40:00	192
30 min	10.1	4.9	0.49	26.4	1972-07-21 05:40:00	72
40 min	11.3	5.6	0.50	28.3	1972-07-21 05:45:00	48
50 min	12.3	6.0	0.49	28.5	1972-07-21 05:55:00	35
60 min	13.3	6.5	0.49	30.8	1980-08-29 04:30:00	35
2 h	16.4	7.6	0.46	38.2	1980-08-29 05:30:00	41
3 h	18.1	7.9	0.44	38.5	1980-08-29 06:05:00	37
4 h	19.2	7.9	0.41	38.6	1980-08-29 06:05:00	39
6 h	21.2	8.2	0.39	38.6	1980-08-29 06:05:00	32
8 h	22.5	8.5	0.38	39.3	1972-02-21 23:30:00	27
12 h	24.6	9.1	0.37	42.3	2007-10-31 11:25:00	28
24 h	28.0	11.5	0.41	60.2	2009-10-24 07:55:00	79

Tablica 2.

Procjene maksimalnih godišnjih količina oborine RT [mm] za različita trajanja i odgovarajuće donje (IPd) i gornje granice (IPg) 95%-tnih intervala pouzdanosti za različita povratna razdoblja T (2, 5, 10, 25, 50 i 100 godina). **PALAGRUŽA**, razdoblje **1970. – 2020.**

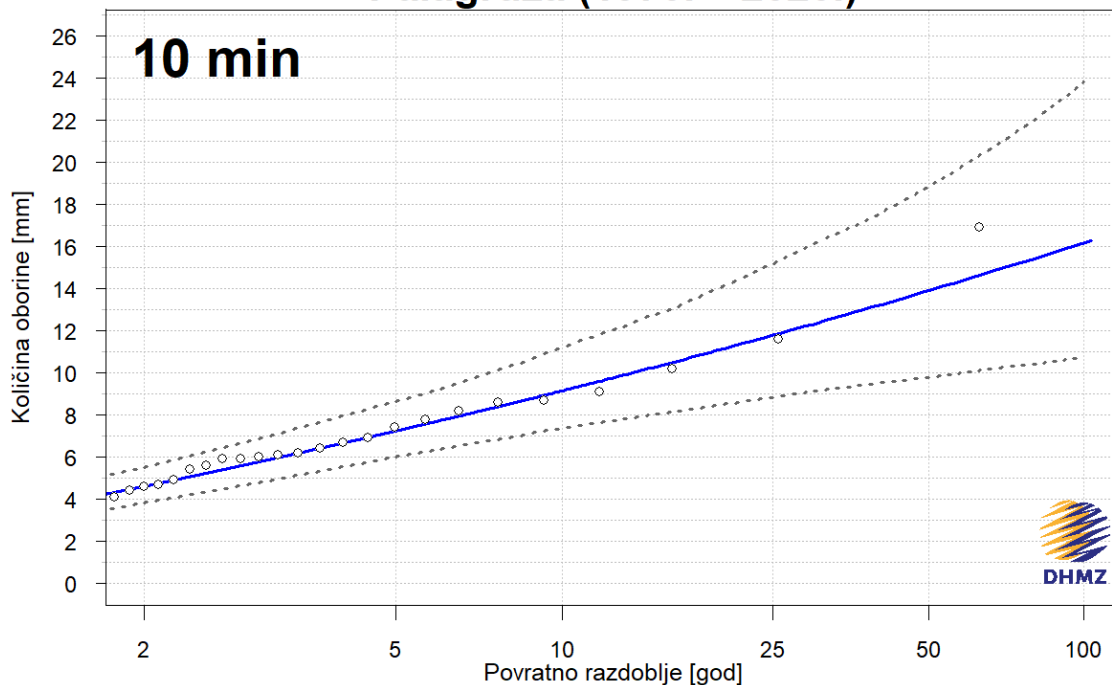
Trajanje	T2			T5			T10			T25			T50			T100		
	IPd	RT	IPg															
5 min	2.0	2.4	2.9	3.2	3.9	4.8	4.0	5.1	6.6	4.9	6.9	9.6	5.6	8.4	12.6	6.1	10.2	17.2
10 min	3.8	4.6	5.5	6.0	7.2	8.6	7.4	9.2	11.2	8.8	11.8	15.2	9.8	13.9	18.8	10.7	16.2	23.8
20 min	6.4	7.4	8.7	9.4	10.9	12.7	11.0	13.3	15.8	13.0	16.4	20.5	14.3	18.7	24.8	15.3	21.1	29.9
30 min	7.7	8.9	10.1	10.9	13.1	15.3	12.9	16.3	19.5	15.3	20.7	27.0	16.8	24.3	34.6	17.9	28.3	42.9
40 min	8.6	9.8	11.3	12.1	14.3	17.0	14.4	18.1	22.6	17.0	23.7	32.7	18.7	28.6	43.2	20.4	34.3	58.2
50 min	9.3	10.6	12.3	13.2	15.7	18.6	15.8	19.8	24.0	18.9	25.9	35.7	21.4	31.3	46.3	23.8	37.5	60.7
60 min	9.9	11.5	13.2	14.1	17.0	20.1	16.6	21.5	26.8	19.4	28.1	39.3	21.4	33.9	52.8	23.3	40.6	70.4
2 h	12.6	14.5	16.5	17.9	21.2	24.8	21.4	26.3	31.9	25.3	33.7	44.6	28.2	40.0	56.9	30.6	46.9	73.0
3 h	14.2	16.4	18.9	20.3	23.6	27.3	24.2	28.6	34.1	28.0	35.5	45.0	30.3	41.0	56.3	32.6	46.7	69.6
4 h	15.5	17.9	20.3	21.9	25.3	28.5	25.7	30.0	34.2	29.2	35.9	43.3	31.6	40.2	51.7	33.2	44.3	61.5
6 h	17.8	20.5	23.6	25.0	28.2	31.5	28.7	32.6	36.6	31.8	37.5	43.2	33.8	40.7	48.6	35.2	43.5	55.0
8 h	19.1	22.0	25.2	26.1	29.8	33.7	30.0	34.2	38.9	33.3	38.9	45.2	35.0	42.0	50.9	36.3	44.7	55.8
12 h	20.9	24.1	27.1	28.5	32.4	35.6	32.7	36.9	41.1	36.2	41.8	47.7	37.2	44.9	52.5	38.4	47.6	57.4
24 h	23.0	26.5	30.6	32.6	37.0	42.3	37.7	43.5	50.6	42.7	51.3	62.8	45.6	56.8	72.2	47.8	62.0	82.5

Palagruža (1970. – 2020.)



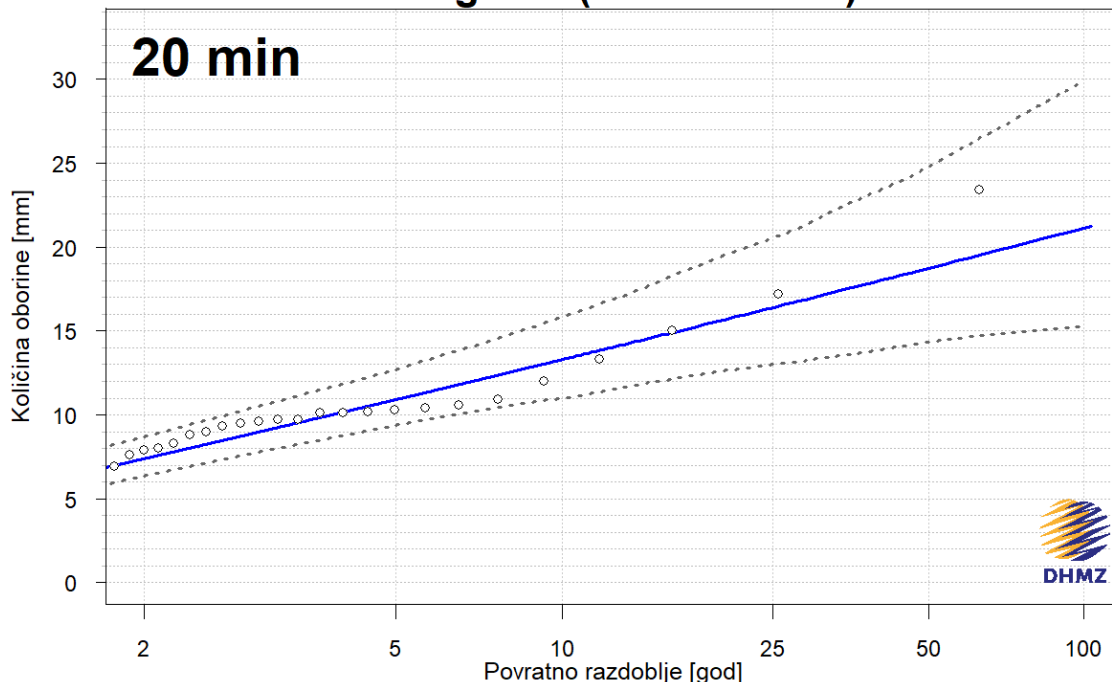
Slika 1. Procjene maksimalnih godišnjih količina oborine za različita povratna razdoblja (plava krivulja) i odgovarajući donji i gornji 95%-tni intervali pouzdanosti (crtkane krivulje) za trajanje **5 minuta**, izračunate pomoću razdiobe GEV

Palagruža (1970. – 2020.)



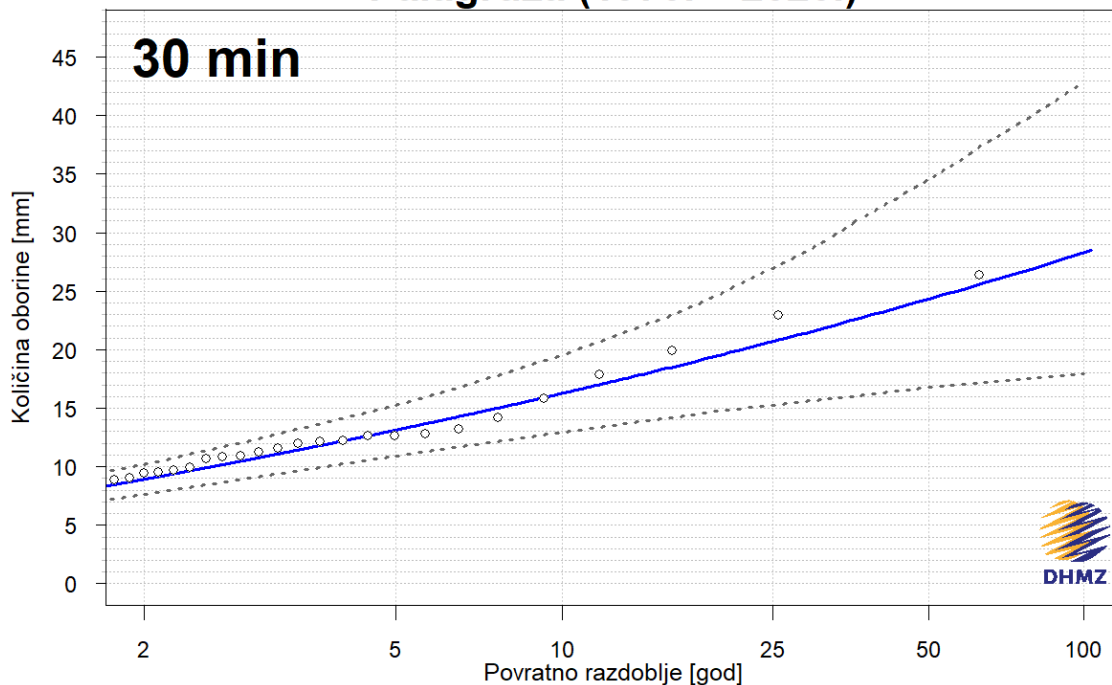
Slika 2. Procjene maksimalnih količina oborine za različita povratna razdoblja (plava krivulja) i odgovarajući donji i gornji 95%-tni intervali pouzdanosti (crtkane krivulje) za trajanje **10 minuta**, izračunate pomoću razdiobe GEV

Palagruža (1970. – 2020.)

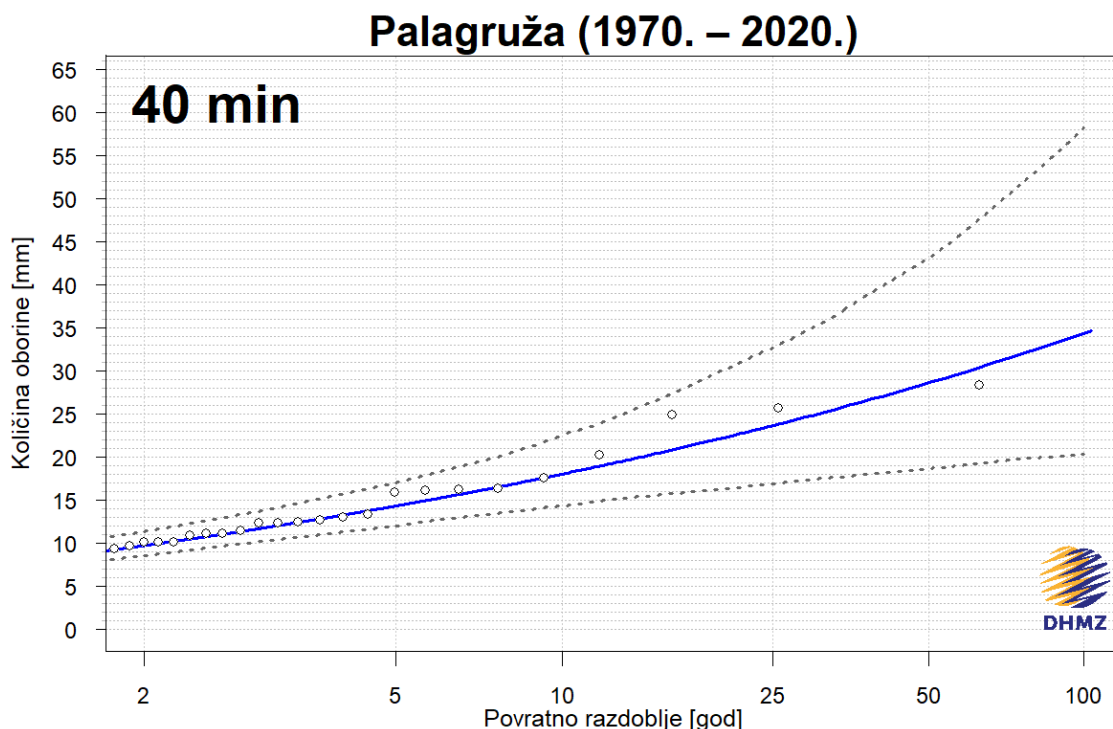


Slika 3. Procjene maksimalnih godišnjih količina oborine za različita povratna razdoblja (plava krivulja) i odgovarajući donji i gornji 95%-tni intervali pouzdanosti (crtkane krivulje) za trajanje **20 minuta**, izračunate pomoću razdiobe GEV

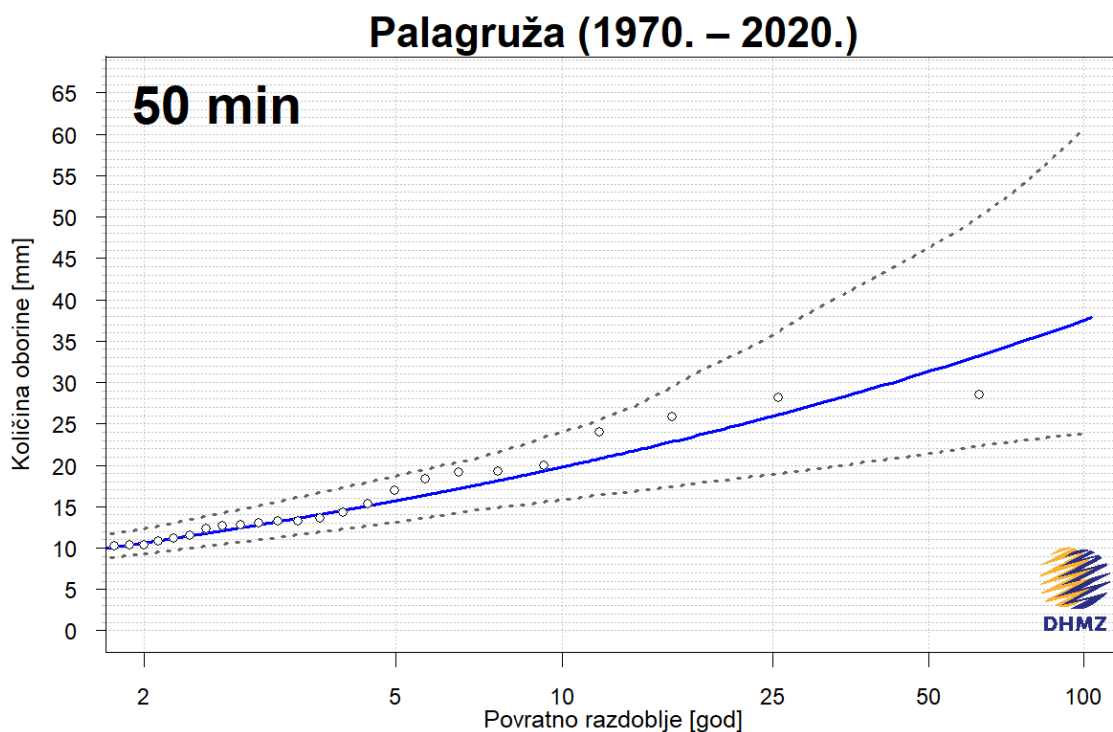
Palagruža (1970. – 2020.)



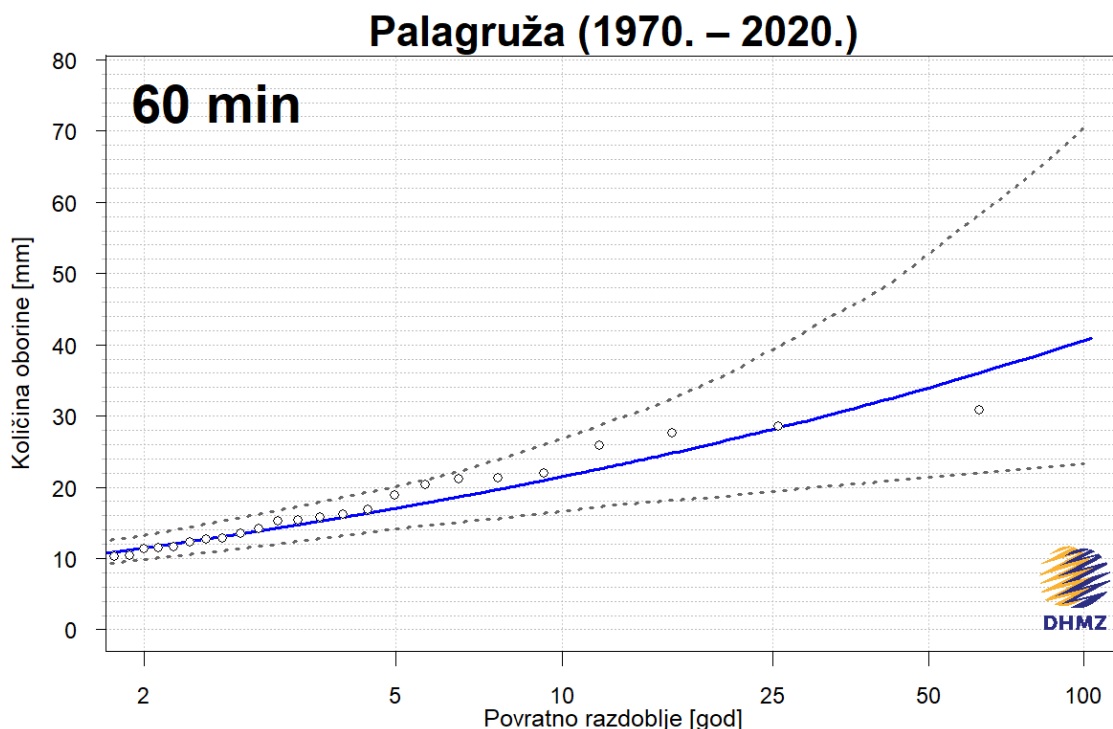
Slika 4. Procjene maksimalnih godišnjih količina oborine za različita povratna razdoblja (plava krivulja) i odgovarajući donji i gornji 95%-tni intervali pouzdanosti (crtkane krivulje) za trajanje **30 minuta**, izračunate pomoću razdiobe GEV



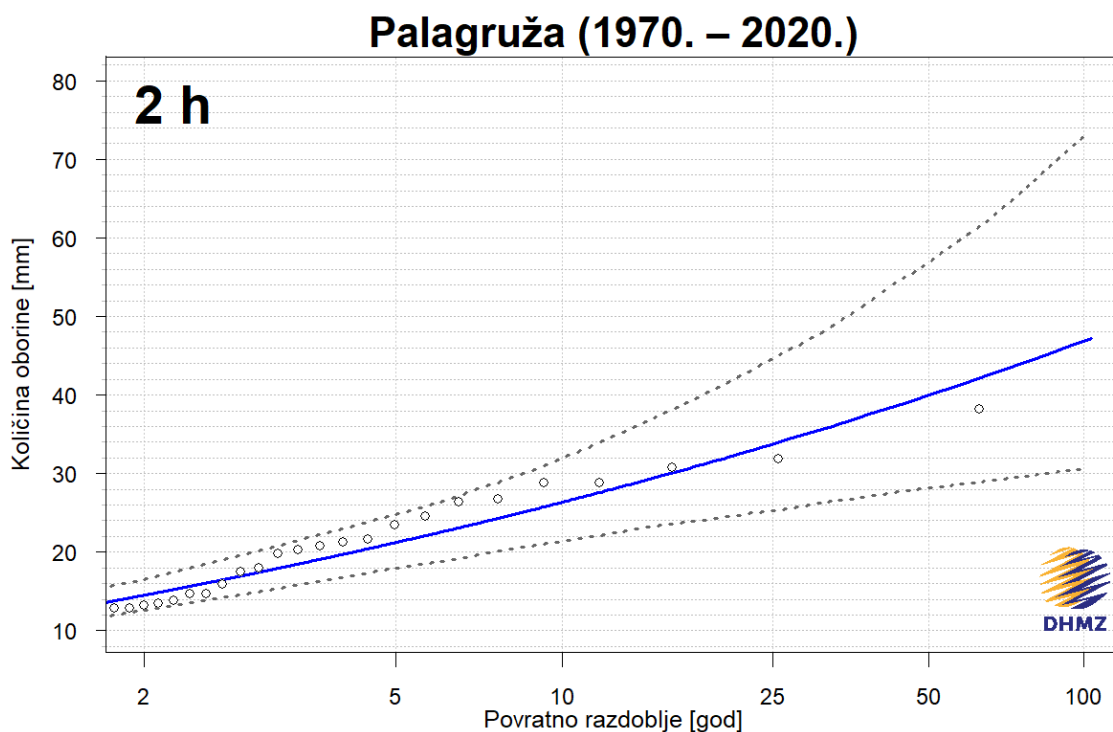
Slika 5. Procjene maksimalnih godišnjih količina oborine za različita povratna razdoblja (plava krivulja) i odgovarajući donji i gornji 95%-tni intervali pouzdanosti (crtkane krivulje) za trajanje **40 minuta**, izračunate pomoću razdiobe GEV



Slika 6. Procjene maksimalnih godišnjih količina oborine za različita povratna razdoblja (plava krivulja) i odgovarajući donji i gornji 95%-tni intervali pouzdanosti (crtkane krivulje) za trajanje **50 minuta**, izračunate pomoću razdiobe GEV

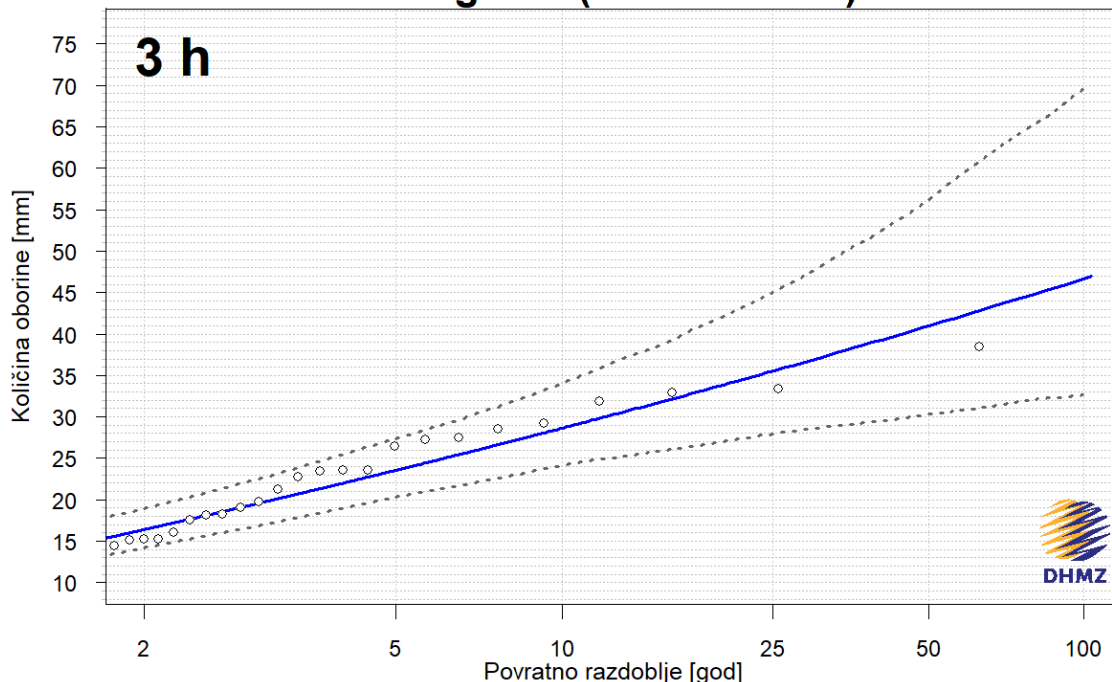


Slika 7. Procjene maksimalnih godišnjih količina oborine za različita povratna razdoblja (plava krivulja) i odgovarajući donji i gornji 95%-tni intervali pouzdanosti (crtkane krivulje) za trajanje **60 minuta**, izračunate pomoću razdiobe GEV



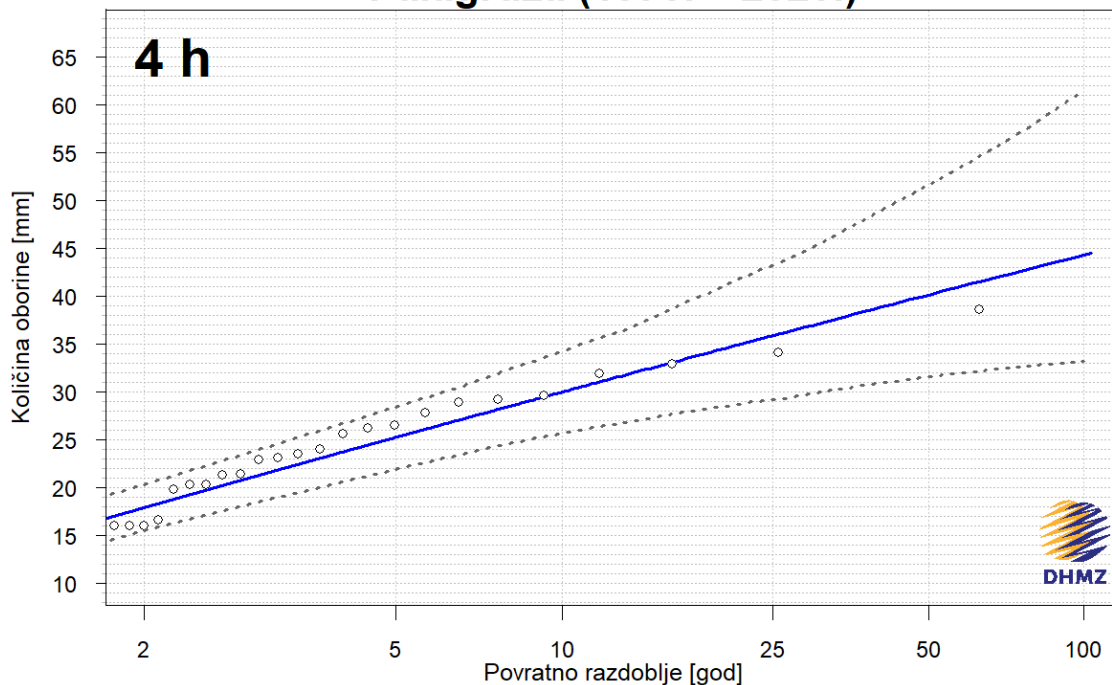
Slika 8. Procjene maksimalnih godišnjih količina oborine za različita povratna razdoblja (plava krivulja) i odgovarajući donji i gornji 95%-tni intervali pouzdanosti (crtkane krivulje) za trajanje **2 h**, izračunate pomoću razdiobe GEV

Palagruža (1970. – 2020.)

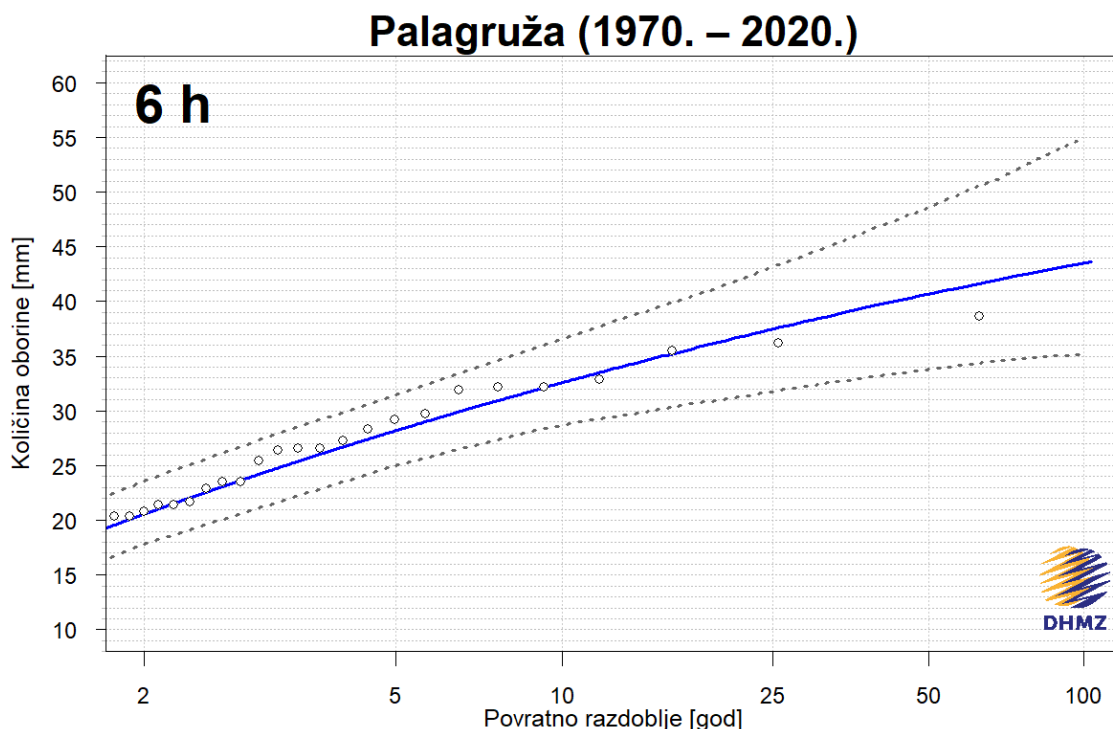


Slika 9. Procjene maksimalnih godišnjih količina oborine za različita povratna razdoblja (plava krivulja) i odgovarajući donji i gornji 95%-tni intervali pouzdanosti (crtkane krivulje) za trajanje 3 h, izračunate pomoću razdiobe GEV

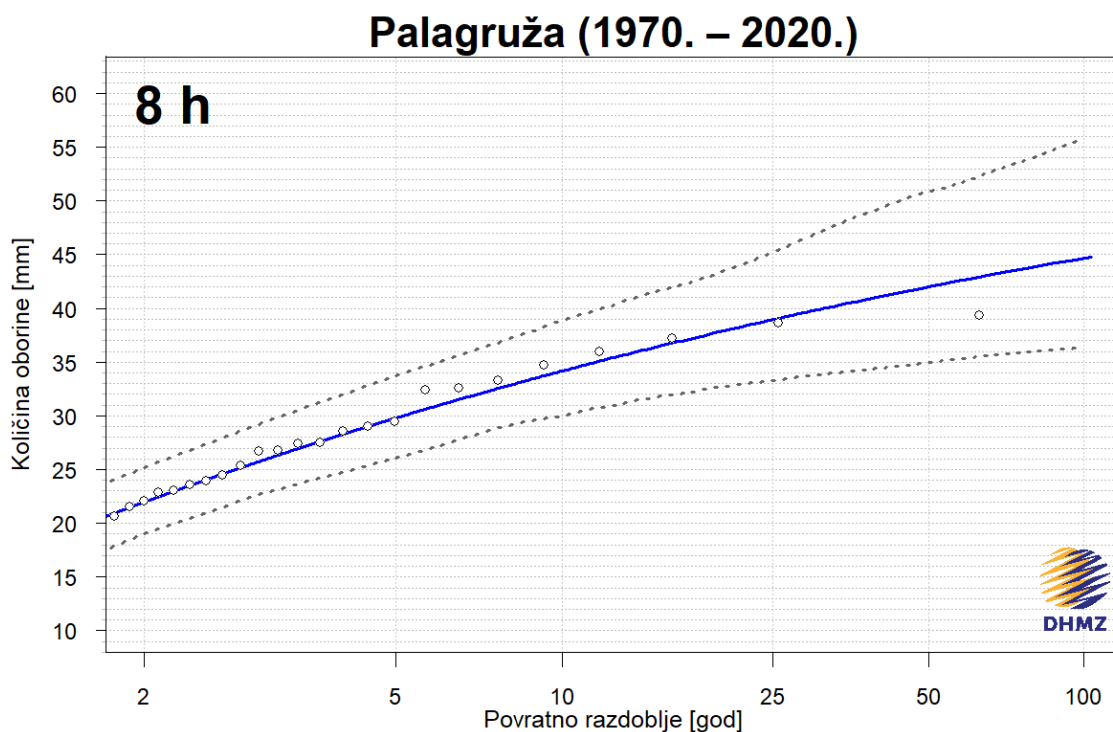
Palagruža (1970. – 2020.)



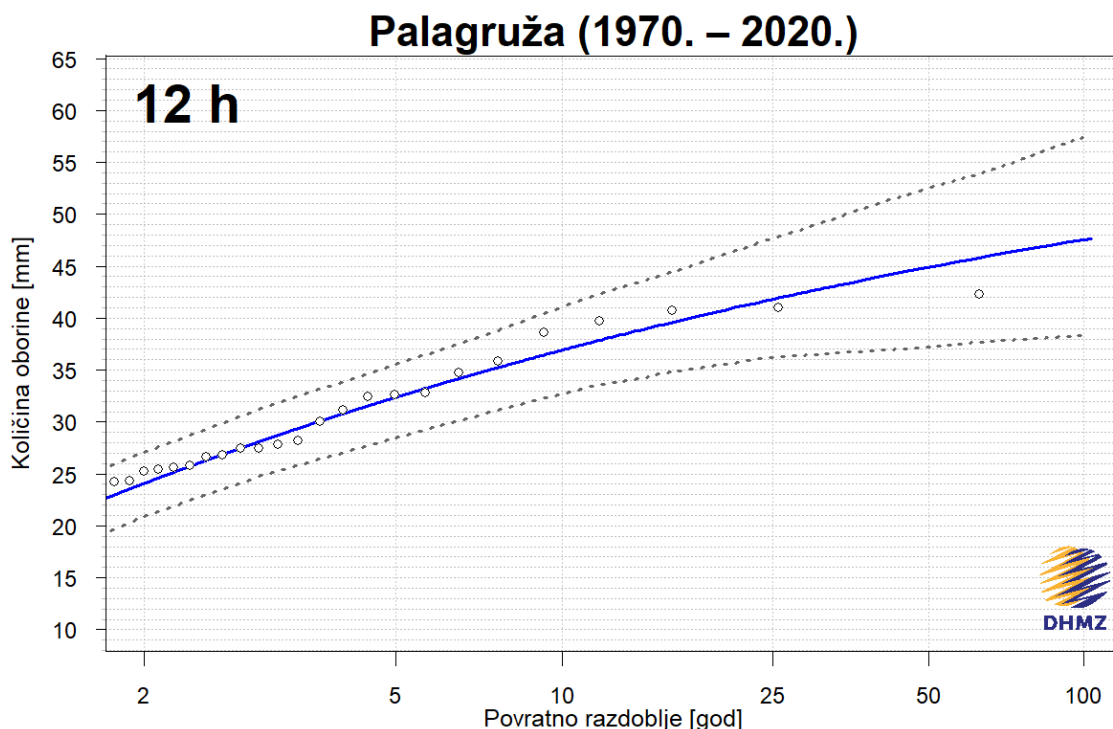
Slika 10. Procjene maksimalnih godišnjih količina oborine za različita povratna razdoblja (plava krivulja) i odgovarajući donji i gornji 95%-tni intervali pouzdanosti (crtkane krivulje) za trajanje 4 h, izračunate pomoću razdiobe GEV



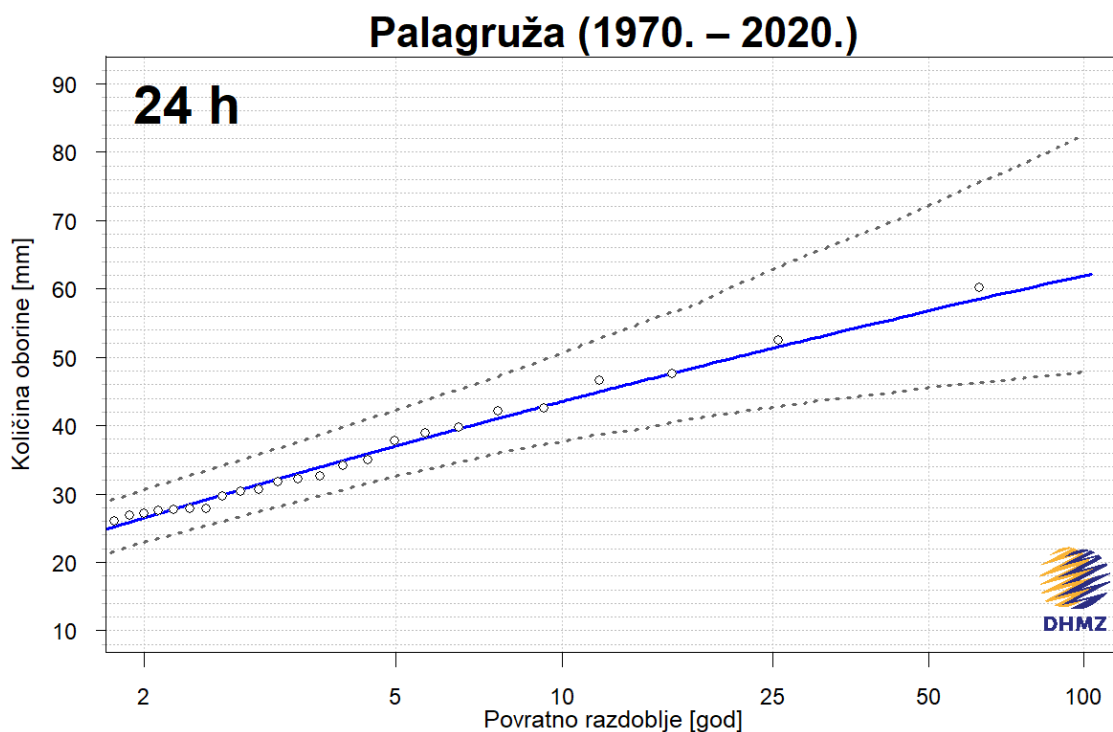
Slika 11. Procjene maksimalnih godišnjih količina oborine za različita povratna razdoblja (plava krivulja) i odgovarajući donji i gornji 95%-tni intervali pouzdanosti (crtkane krivulje) za trajanje **6 h**, izračunate pomoću razdiobe GEV



Slika 12. Procjene maksimalnih godišnjih količina oborine za različita povratna razdoblja (plava krivulja) i odgovarajući donji i gornji 95%-tni intervali pouzdanosti (crtkane krivulje) za trajanje **8 h**, izračunate pomoću razdiobe GEV



Slika 13. Procjene maksimalnih godišnjih količina oborine za različita povratna razdoblja (plava krivulja) i odgovarajući donji i gornji 95%-tni intervali pouzdanosti (crtkane krivulje) za trajanje **12 h**, izračunate pomoću razdiobe GEV



Slika 14. Procjene maksimalnih godišnjih količina oborine za različita povratna razdoblja (plava krivulja) i odgovarajući donji i gornji 95%-tni intervali pouzdanosti (crtkane krivulje) za trajanje **24 h**, izračunate pomoću razdiobe GEV